Les spectres de résonance magnétique nucléaire ont été enregistrés à l'aide d'un spectrographe Perkin-Elmer R 10, opérant respectivement à 60,00 MHz pour le noyau H¹, 24,29 MHz pour le noyau P³¹ et 19,25 MHz pour le noyau B¹¹. Les divers composés ont été examinés en solutions (CCl₄) de concentration voisine de 10 %. Les déplacements chimiques sont donnés en parties par million (ppm) du champ magnétique inducteur nécessaire pour obtenir la topin) du champ hagnerique intacteur necessaire pour obteni la résonance respectivement, des protons du tétraméthylsilane (interne), du bore de $(C_2H_6)_2O \rightarrow BF_3$ (externe) et du phosphore de P_4O_6 (externe). Les constantes de couplage J sont exprimées en Hertz (Hz). L'étude à 100 MHz a été effectuée sur le spectrographe HR 100 du service de M. le Professeur Barrans que nous sommes heureux de remercier ici,

BIBLIOGRAPHIE.

(1) Cf. par exemple: G. Jugie et J. P. Laurent, Bull. Soc. chim., 1970, p. 838; — J. P. Laurent, G. Jugie et G. Commenues, J. Inorg. Nucl. Chem., 1969, 31, 1353.
(2) P. N. Gates, E. F. Mooney et D. C. Smith, J. chem. Soc., 1844, p. 2544

1964, p. 3511.

(3) T. P. Onak, H. Landesman, R. E. Williams et I. Shapiro,

J. phys. Chem., 1959, 63, 1533.
 (4) D. J. Pasto et P. Balasubramaniyan, J. amer. chem.

Soc., 1967, 89, 295.
(5) H. Noth et H. Vahrenkamp, Chem. Ber., 1966, 99, 1049.
(6) J. B. Hendrikson, M. L. Maddox, J. J. Sims et H. D. Kaesz, Tetrahedron, 1964, 20, 449.
(7) J. H. Letcher et J. R. Van Wazer, Topics Phosphorous

chem., 1967, 5.
(8) B. P. Dailey et J. N. Shoolery, J. amer. chem. Soc., 1955, 77, 3977.

(9) G. Martin et G. Mavel, C.R. Acad. Sci., 1961, 252, 110.
 (10) F. Gallais, D. Voigt et J. F. Labarre, J. Chim. phys.,

1965, **62**, 761.
(11) P. N. GATES, E. J. McLauchlan et E. F. Mooney, Spectrochim. Acta, 1965, **21**, 1445.

(12) J. E. Drake et J. Simpson, J. chem. Soc., 1968, p. 975. (13) D. E. Young, G. E. McAchran et S. G. Shore, J. amer.

(13) D. E. Young, G. E. McAchran et S. G. Shore, J. amer. chem. Soc., 1966, 88, 4390.
(14) R. W. Rudolph et R. W. Parry, J. amer. chem. Soc., 1967, 89, 1621.
(15) J. P. Laussac, G. Jugie et J. P. Laurent, C.R. Acad. Sci., 1969, 269 C, 698; — G. Jugie, J. P. Laussac et J. P. Laurent, Bull. Soc. chim., 1970, p. 2542.

Nº 692. — Affinement de la structure de la kieserite MgSO₄, H₀O₅

par Jean-Marie Brégeault*, Paulette Herpin**, Jean-Marie Manoli* et Guy Pannetier*.

(*Laboratoire de cinétique chimique de la Faculté des Sciences de Paris. Équipe de recherche associée au CNRS, nº 24, 1, rue Guy-de-la-Brosse, Paris, 5º.) (**Laboratoire de minéralogie cristallographie de la Faculté des Sciences de Paris, Laboratoire associé au CNRS, 9, quai Saint-Bernard, Paris, 5e.)

(Manuscrit reçu le 21.4.70.)

La structure cristallographique de la kieserite MgSO₄, $\rm H_2O$ a été affinée à partir des données de diffraction des rayons X obtenues avec un monocristal, par la méthode de Weissenberg {R = 0,057}. Le groupe spatial est C 2/c, la maille a pour dimensions a = 6,89, Å; b = 7,62, Å; c = 7,64, Å; $\beta = 117941'$, et contient quatre groupements formulaires. Chaque ion Mg++ est hexacoordiné. L'environnement ainsi réalisé constitue un octaédre peu déformé de quatre atomes d'oxygène provenant de groupements sulfate différents et de deux atomes d'oxygène appartenant à des molécules d'eau, un oxygène de molécule d'eau étant commun à deux octaèdres. Les distances Mg — O sont très voisines (2,02 Å à 2,18 Å). Deux liaisons par pont hydrogène d'égales longueurs (2,74 Å) sont envisagées. Les relations entre cette structure et celle de CdSO₄, H₂O (groupe spatial P 2₁/c) sont brièvement discutées.

i. - Introduction.

Dans le cadre d'une étude de la liaison par pont hydrogène dans les cristaux de sulfates ou d'hydroxysulfates hydratés, nous nous sommes intéressés dans un premier mémoire à l'étude structurale du sulfate de cadmium monohydraté (1. 2). Dans le présent travail nous examinons la structure du monohydrate du sulfate de magnésium dont le minéral correspondant est la kieserite.

II. - Rappel bibliographique.

Les paramètres cristallins de la kieserite ont été déterminés par Weinert (3) et la structure cristalline par Leonard et Weiss (4) après analyse de la projection de Fourier dans la direction [110] sur (110). Dans ce travail les données sur la précision des positions atomiques manquent. Récemment Coinc-Boyar et Bassi (5, 6, 7) ont proposé d'après l'étude du diagramme de poudre (31 réflexions) une représentation du modèle structural de CoSO₄, H₂O très différente de celle fournie par Leo-NARDT et Weiss pour MgSO₄, H₂O, alors que ces sels sont considérés comme isotypes par plusieurs auteurs (8, 9, 10). De son côté Oswald (10), avec un nombre de réflexions du diagramme de poudre plus important que celui de

Coing-Boyat, trouve pour CoSO₄, H₂O un arrangement identique à celui de Leonardt et Weiss, mais un facteur de reliabilité R, plus élevé que celui de Coing-Boyat. Il faut remarquer que pour les deux agencements proposés pour ${\rm CoSO_4},~{\rm H_2O},~{\rm les}$ distances interatomiques et les motifs sont très voisins, mais la disposition spatiale est différente. Sur le modèle établi pour CoSO4, H2O, Le FUR, Coing-Boyat et Bassi (6) ont affiné la structure des monohydrates MSO_4 , H_2O ($M \equiv Mn$, Fe, Co, Ni et Zn) et abouti à des facteurs R pour la plupart inférieurs à 10 %. Pour $MgSO_4$, H_2O , Wyckoff considère qu'un travail supplémentaire devrait être entrepris (11), mais que ce sel aurait probablement la structure de CoSO4, H2O proposée par Coing-Boyat et al. (5).

Pour mieux exploiter les spectres obtenus par résonance magnétique nucléaire du proton et par spectrométrie infrarouge avec les monohydrates de la série magnésienne (12), nous avons tenté de parfaire l'un des modèles élaborés. Les résultats recherchés devraient aussi permettre d'entreprendre une étude par diffraction neutro-

nique.

III. - Résultats expérimentaux.

Les monocristaux de kieserite provenant de la mine de Gebra-Lohra ont été fournis par K. Heide, du Mineralogisches Institut de Iéna (RDA). Nous tenons à l'en remercier. L'orientation du monocristal a été facilitée par l'étude morphologique qu'il avait entreprise (13).

Les paramètres de la maille élémentaire fournis par les diagrammes de cristal tournant, de Weissenberg et de précession sont:

$$a = 6,89_1 \text{ Å};$$
 $b = 7,62_4 \text{ Å},$ $c = 7,64_5 \text{ Å}$ $\alpha = \gamma = 90^\circ;$ $\beta = 117^\circ 41'$

valeurs en accord raisonnable avec les mesures de Leo-NARDT et Weiss (4), mais assez différentes de celles de Kubisz (14) et de Le Fur (15). Les extinctions systématiques observées satisfont aux conditions des groupes

spatiaux C 2/c et Cc. Tous les clichés sont obtenus avec la radiation Kα du cuivre. Nous avons utilisé la méthode classique d'enregistrement sur quatre films superposés pour les strates Okl, 1kl, 2kl, 3kl, 4kl (chambre de Weissenberg). Les intensités des réflexions considérées sont intégrées par le système de Wiebenga et mesurées au densitomètre Nonius. Onze réflexions très intenses étant entachées d'erreurs de mesure, il a fallu renoncer à les prendre en considération. Les valeurs obtenues après remise à l'échelle relative sont corrigées du facteur de Lorentz-Polarisation, puis mises à l'échelle absolue par la méthode statistique de Wilson. Tous les calculs ont été effectués sur ordinateur Control Data 3600. Nous obtenons ainsi la valeur absolue des facteurs de structure de 240 réflexions indépendantes. Avec le rayonnement choisi et les dimensions du cristal, toute correction d'absorption peut être négligée, ce qui est justifié par les valeurs suivantes :

$$\mu_{\text{CUE}\alpha} = 35 \text{ cm}^{-1}; \quad \overline{\mu.R} = 0.3.$$

Les deux hypothèses possibles, d'après les travaux mentionnés précédemment, ont servi de point de départ à l'affinement cristallographique. Pour cette opération nous avons utilisé le programme de Busing, Martin et Levy (16) avec les valeurs de Cromer et Waber (17) pour les facteurs de diffusion des ions et atomes Mg²⁺, S⁰, O⁰ de H₂O. Pour l'oxygène des groupements SO₄, la moyenne des

valeurs données pour O neutre et O- par Freeman (18) est retenue. Aucun facteur de pondération n'a été introduit.

Dans un premier affinement, nous avons considéré l'hypothèse de Coing-Boyat: après un cycle sur les facteurs d'échelle, le facteur $R = \frac{\sum[|F_{obs}| - |F_{cal}|]}{\sum|F_{obs}|}$ était

de 0,58. Après cinq cycles, en faisant d'abord varier simultanément les coordonnées atomiques et les facteurs d'échelle, puis en ajoutant comme paramètres variables les facteurs de température isotrope, le coefficient de reliabilité atteint encore 0,51. Cette valeur, et l'existence de facteurs de température négatifs permettent de rejeter cette première hypothèse de travail.

Avec le même traitement les valeurs de Leonardt et Weiss conduisent après un cycle sur les facteurs d'échelle à R=0.23; en ayant introduit les facteurs d'agitation thermique isotrope comme variables avec les coordonnées et les facteurs d'échelle, R prend la valeur 0.068. Les valeurs positives des facteurs de température isotrope nous ont permis d'affiner le modèle en introduisant pour chaque atome un facteur de température anisotrope de la forme :

exp. [
$$-(\beta_{11}, h^2 + \beta_{22}, k^2 + \beta_{33}, l^2 + 2\beta_{12}, hk + 2\beta_{13}, hl + 2\beta_{23}, kl)$$
].

Pour les atomes en positions semi-particulières (4e), c'est-à-dire S et O de H_2O , β_{12} et β_{23} sont nuls d'après les règles de Levy (19). De plus, la position possible (8f), pour l'atome d'hydrogène doit respecter les distances O-H voisines de 0.97 Å et l'angle HOH de l'ordre de 105° , pour la molécule d'eau. Par ailleurs, cette situation du proton doit permettre d'envisager des liaisons par pont hydrogène avec les atomes d'oxygène de groupements sulfate voisins. Les coordonnées adoptées sont :

$$x_{\rm H} = 0.130;$$
 $y_{\rm H} = 0.706;$ $z_{\rm H} = 0.290.$

Les valeurs du facteur de diffusion atomique de l'hydrogène sont celles des Tables Internationales (20). Les coefficients β_{ij} ont été affinés, ainsi que les facteurs d'échelle et les coordonnées atomiques. Il faut fixer alternativement

TABLEAU I

Paramètres structuraux de MgSO₄, H₂O accompagnés de l'écart-type σ évalué par le programme d'affinement.

| ļ | x | σ (x) | y | $\sigma \left(y\right)$ | z | σ (z) | B (Ų) | σ (B) |
|-----------------------------|--------|--------|--------|--------------------------|--------|--------|-------|-------|
| Ig | 0,0000 | | 0,5000 | | 0,0000 | | 0,67 | 0,07 |
| | 0,0000 | | 0,1548 | 0,0002 | 0,2500 | | 0,39 | 0,06 |
| 1 | 0,1755 | 0,0009 | 0,0445 | 0,0005 | 0,3942 | 0,0006 | 1,06 | 0,10 |
| 2 | 0,0895 | 0,0009 | 0,2667 | 0,0005 | 0,1485 | 0,0006 | 0,98 | 0,09 |
|) _{H₂O} | 0,0000 | | 0,6366 | 0,0007 | 0,2500 | 200 | 0,81 | 0,14 |
| 4 | 0,125 | 0,020 | 0.708 | 0.013 | 0.298 | 0.015 | 1.32 | 1,10 |

TABLEAU II

Facteurs d'agitation thermique anisotrope.

| | $\beta_{11} \times 10^4$ | $\beta_{22} \times 10^4$ | $\beta_{33} \times 10^4$ | $\beta_{12} 	imes 10^4$ | $\beta_{13} \times 10^4$ | $\beta_{23} \times 10^4$ |
|----|---|--|---|---------------------------------------|---|----------------------------------|
| Mg | 64 (14) 13 (10) 77 (22) 71 (21) 75 (30) | 20 (4) 10 (3) 33 (6) 34 (6) 34 (9) | 35 (6) 26 (4) 68 (9) 63 (9) 44 (12) | -0,7 (5) 0 21 (8) 0 (8) 0 | 16 (6) 9 (4) 38 (10) 45 (9) 26 (13) | 0,2 (3) 0 25 (6) 21 (6) |

^() Valeur de l'écart-type σ évalué par le programme d'affinement.

TABLEAU III. - Facteurs de structure observés et calculés.

| | | | 1 | ADLE. | AO 111. – | - Facieu | rs ae s | ructure of | serves et | calcule | s. | | | |
|--------|--------------|----------------|------------|--------------|------------------|------------|--|------------------|------------|--------------|------------------|-------------------|--------------|------------------|
| | Fo | F _c | | Fo | Fc | | Fo | F _c | | Fo | Fc | | Fo | F _c |
| | 0, 1 | k, 0 | | 1, | 3, 1 | | 2. | 2, t | | 3, 1 | i. t | | 4, : | 2. £ |
| 2 | 5.9 | 2.1 | 0 | 30.9 | - 32.6 | 0 | 26.2 | - 24.4 | - 3 | 7.8 | 5.8 | 5 | 17.2 | - 19.7 |
| 4 | 36.0 | 33.9 | 1 | 47.2 | 49.3 | 1 | 29.3 | - 29.9 | - 4 | 11.9 | 11.3 | 4 | 6.9 | - 6.9 |
| 6 | 36.6 | 36.9 | 2 | 5.0 | 4.7 | 3 | 43.7 | 42.0 | - 5 | 24.0 | 22.4 | 3 | 33.2 | 34.3 |
| 8 | 28.1 | 25.9 | 3 | 24.9 | - 19.8 | 4 | 23.7 40.8 | 21.5 - 39.7 | -6 -7 | 19.6 26.1 | - 20.2 - 26.9 | 2 1 | 27.1 46.9 | 26.7 - 46.7 |
| | | | 4 5 | 49.7 | - 46.2 - 24.5 | 5 | 13.1 | 11.8 | -, | 26.1 | - 20.9 | 0 | 22.7 | 20.3 |
| | U, | 0, £ | 6 | 24.0 3.6 | - 3.1 | 7 | 19.4 | 23.3 | | | | - 1 | 40.9 | 37.6 |
| 2 | 42.5 | - 46.9 | 7 | 10.8 | 10.7 | | 350 MONIO (100 MONIO (| 100.000.000 | | 3, | 3, £ | - 2 | 37.7 | 34.9 |
| 4 | 31.5 | 30.2 | | | | | | | | | | - 3 | 48.2 | - 47.4 |
| 6 8 | 16.1 48.9 | - 14.3 51.2 | | | | | | | - 8 | 33.8 | - 33.1 | - 4 | 27.0 | 23.6 |
| • | 40.7 | 31.2 | | 1. | 5. ! | | 2, | 4. £ | -7 -6 | 23.8 | 23.3 0.9 | - 5 - 6 | 47.4 | 48.9 |
| | 0, | 2, 8 | 6 | 29.0 | - 28.2 | | | | - 5 - 5 | 3.3 | 2.0 | -7 | 43.5 | 42.5 26.0 |
| 3 | 42.3 | 39.6 | 5 | 17.7 | 17.5 | 6 | 42.2 | 41.8 10.2 | - 4 | 35.0 | - 34.8 | -8 | 8.7 | - 10.9 |
| 4 | 15.3 | 14.0 | 4 | 10.5 | - 11.2 | 5 4 | 9.4 2.6 | - 2.2 | - 3 | 40.8 | - 42.6 | | | |
| 5 | 45.7 | - 42.5 | 3 2 | 31.6 | - 30.8 - 21.4 | 3 | 13.4 | - 12.1 | - 2 | 1.9 | 1.5 | | | |
| 6 | 10.8 | 10.2 | 1 | 22.0 11.5 | 9.9 | 2 | 49.0 | 46.8 | - 1 | 3.8 | 2.1 | | | |
| 7 | 38.3 | 37.2 | 0 | 26.8 | - 25.7 | 1 | 44.0 | 41.2 | 0 | 67.0 | - 70.1 | | | |
| 8 | 6.8 | 5.B | - 1 | 12.6 | 12.6 | 0 | 8.2 | - 7.6 | 1 2 | 21.4 13.7 | 20.1 11.9 | | | |
| | | | - 2 | 40.9 | -41.3 | - 1 | 25.4 | - 24.3 | 3 | 3.5 | - 2.3 | | | |
| | υ, | 4, 8 | - 3 | 37.3 | 37.1 | - 2 | 70.5 | 76.9 | 4 | 26.0 | - 25.2 | | 4. | 4. £ |
| 1 | 2.3 | 3.1 | - 4 | 5.8 | - 6.2 | - 3 - 4 | 19.4 28.0 | 18.2 - 25.4 | 5 | 1.9 | - 0.4 | | | |
| 2 | 60.0 | 64.1 | - 5 | 45.1 | - 44.7 - 24.4 | - 5 | 40.9 | - 40.1 | 6 | 8.3 | 9.1 | - 8 | 8.0 | - 8.5 |
| 3 | 48.8 35.4 | - 50.6 | - 6 - 7 | 26.5 | 6.8 | - 6 | 50.7 | 49.3 | | | | - 7 | 18.0 | 17.6 |
| 5 | 31.8 | - 34.3 30.3 | (C-10.6) | 0.4 | 0.0 | -7 | 22.2 | 21.3 | | 300 | | - 6 | 26.7 | 26.2 |
| 6 | 46.9 | 49.3 | | | | | | | | 3. | 5, t | - 5 | 2.4 | - 2.5 |
| 7 | 10.6 | - 9.5 | | 1. | 7. 8 | | | | 5 | 14.8 | 16.3 | - 4 | 2.8 | ~ 2.3 |
| | | | - 6 | 23.1 | - 22.5 | | | | 4 | 10.3 | - 9.8 | - 3 | 30.5 | 31.4 |
| | 0, | 6, € | - 5 | 10.2 | 9.4 | | 2. | 6, <i>t</i> | 3 | 5.9 | 5.9 | - 2 - 1 | 75.9 | 82.8 |
| 1 | 21.4 | 19.7 | - 4 | 5.9 | - 6.0 | 7 | 25.7 | 24.6 | 2 | 21.1 | - 19.7 | - 1 | 49.2 25.5 | - 48.7 - 25.2 |
| 2 | 6.7 | - 6.3 | - 3 | 26.1 | - 24.7 | - 6 | 6.9 | - 6.7 | 1 | 21.1 | 20.1 | 1 | 17.3 | 13.0 |
| 3 | 35.4 | - 33.5 | - 2 | 27.5 | - 28.8 | - 5 | 23.7 | - 22.6 | 0 | 15.2 | - 15.4 | 2 | 30.4 | 31.2 |
| 4 | 56.7 | 57.2 | -1 | 27.9 | 27.5 | - 4 | 59.6 | 59.5 | - 1 - 2 | 49.5 40.2 | - 48.7 - 43.5 | 3 | 6.7 | - 7.3 |
| 6 | 11.3 | 11.9 - 13.0 | n 1 | 4.9 | 3.0 2.0 | - 3 | 6.9 | - 5.7 | -3 | 19.1 | 19.2 | 4 | 2.2 | 0.5 |
| 0 | 13.1 | - 15.0 | 2 | 45.7 | - 47.4 | - 2 - 1 | 18.1 14.9 | - 19.1 - 14.9 | - 4 | 6.3 | - 4.0 | | | |
| | 0, | 8, 2 | 3 | 4.3 | 2.9 | 0 | 49.0 | 48.1 | - 5 | 12.0 | - 10.4 | | | |
| 1 | 47.1 | - 45.0 | 4 | 4.8 | - 5.2 | 1 | 46.8 | 47.9 | - 6 | 19.0 | - 19.1 | | | |
| 2 | 6.7 | 4.1 | 5 | 24.8 | -27.3 | 2 | 4.4 | 3.9 | -7 | 19.6 | 17.7 | | | |
| 3 | 18.6 | 16.5 | | | | 3 | 23.5 | - 22.0 | - 8 | 14.5 | -14.9 | | | |
| 4 | 19.9 | 19.1 | | 100 | 9.1 | 4 | 35.2 | 36.9 | | | | | 4 | . 6, f |
| | | | | | | 5 | 2.0 | 3.6 | | 3. | 7, 2 | | | |
| | 1. | 1, 1 | 2 | 4.4 | 3.1 | | | | | | | 3 | 11.8 | - 13.2 |
| | | | 1 | 12.3 44.1 | - 13.0 - 45.7 | | | | - 6 | 35.8 | - 34.8 | 2 | 2.8 | - 3.1 |
| | | 6.9 | - 1 | 17.1 | 17.5 | | 2, | 8, f | | 14.5 | | 1 | 8.3 | 9.7 |
| 6 | 40.4 | ~ 41.9 | - 2 | 9.5 | 9.9 | | | | - 4 | 11.8 35.9 | -10.9 | D | 51.1 | 50.3 |
| 5 | 6.3 | - 4.8 | - 3 | 3.1 | - 3.1 | 3 | 30.6 | 32.1 | - 3 - 2 | 23.4 | - 35.4 - 22.9 | - 1 | 23.4 | - 24.7 |
| 3 | 16.9 20.4 | - 15.4 18.6 | | | | 2 | 3.6 | - 3.8 - 26.1 | - 1 | 14.4 | 13.2 | - 2 | 22.8 | - 23.3 |
| 2 | 3.7 | - 1.5 | | | | 0 | 26.7 35.8 | 32.7 | 0 | 2.2 | 2.1 | - 3 - 4 | 18.2 39.7 | 15.3 40.5 |
| -3 | 21.3 | 17.9 | | 2 | 0. £ | -1 | 30.0 | 30.3 | 1 | 4.3 | - 3.2 | - 5 | 10.3 | - 8.4 |
| - 4 | 44.0 | - 42.7 | | | | - 2 | 26.0 | 23.2 | 2 | 32.3 | -32.8 | - 6 | 2.1 | 0.5 |
| - 5 | 11.4 | -11.0 | 2 | 37.9 | - 35.9 | ~ 3 | 27.2 | -27.2 | 3 | 14.5 | 14.9 | -7 | 24.6 | 25.2 |
| -6 | 24.9 | - 25.4 | 4 | 79.1 | 83.5 | - 4 | 16.2 | 14.5 | | | | | | |
| -7 | 23.0 | - 21.6 | 6 - 4 | 6.6 | - 6.7 64.3 | -5 | 16.1 | 15.4 | | | | | | |
| | | | -6 | 3.8 | - 3.9 | | | | | 5. | 9. 1 | | | |
| | 10 | 2 2 | | ,,, | 3.7 | | | | - 2 | 2.9 | - 2.7 | | | |
| | 1. | 3, £ | | | | | 3. | 1. <i>t</i> | 3.070 | | | | 4. | 8, <i>t</i> |
| - 7 | 2.1 | - 2.6 | | 2 | 2. € | | ٠, | 995 N | | | | | - | nd 2 |
| -6 | 6.6 | 6.2 | | | | 6 | 12.8 | - 14.8 | | 92 | n # | | | |
| - 5 | 2.6 | 2.7 | -7 | 30.3 | - 27.1 | 5 | 17.9 | - 15.6 | | 4, | 0, <i>t</i> | - 4 | 15.6 | 16.1 |
| - 4 | 63.4 | - 68.7 | - 6 | 54.1 | 1.75 | 4 | 2.3 | 1.3 | | 920.00 | | - 3 | 19.5 7.0 | - 20.1 7.6 |
| - 3 | 25.5 | - 23.6 | - 5 | 39.2 | 37.2 | 3 | 42.9 | 41.3 | 0 | 52.6 | 48.5 | - 2 - 1 | 8.4 | 9.8 |
| - 2 | 32.2 | - 28.5 | - 4 | 44.4 | 42.1 | 2 | 43.5 | - 42.8 | 2 | 50.4 56.9 | - 46.8 56.8 | 0 | 14.7 | 15.5 |
| - 1 | 17.3 | 16.6 | - 2 | 14.8 | - 9.9 | 1 | 32.3 | - 31.2 | 4 | ,0.9 | ,0.0 | -1 8 0 | and the | |

les composantes β_{11} et les facteurs d'échelle qui ont une forte corrélation, puisque les strates observées, d'échelles différentes, ne contiennent que des réflexions d'indice \hbar constant. Le facteur de température de l'hydrogène est prix égal à 2,5 Ų au départ, valeur de l'ordre de celles déterminées dans différents travaux (21, 22), il est toujours maintenu isotrope. Quatre itérations ont abaissé le facteur R à 0,057.

Cet affinement a conduit à un déplacement notable de certains atomes par rapport aux positions fixées par Leonardt et Weiss. Une preuve indirecte de la justesse de la structure est apportée par les dimensions que nous trouvons pour l'ion sulfate qui est peu déformé par rapport au tétraèdre idéal. De plus, bien que le nombre de réflexions soit restreint, l'introduction des coordonnées atomiques pour l'hydrogène est parfaitement justifiée: après un écart initial des coordonnées de H de 4/100° de maille dans les trois directions, H revient à la position préalablement déterminée après quatre itérations. Ainsi, au terme de l'affinement, le facteur de reliabilité R prend la

valeur 0,057. Les différents paramètres sont consignés dans les tableaux I et II avec les écarts-types correspondants. Les valeurs mesurées des modules des facteurs de structure et les valeurs calculées avec leur signe, sont rassemblées dans le tableau III.

$\mbox{IV.}$ — Description de la structure et comparaison avec celle de CdSO4, $\mbox{H}_2\mbox{O}_{\text{-}}$

Le tableau V donne les distances interatomiques évaluées à l'aide du programme de Busing, Martin et Levy (23). Un atome y est repéré par son symbole suivi d'un chiffre romain correspondant aux huit positions possibles dans la maille élémentaire (tableau IV). Pour les oxygènes du groupement SO₄ on distingue O₁ et O₂.

La figure 1 représente la projection sur le plan (010). Cette projection est comparée à celle de CdSO₄, H₂O pour

TABLEAU IV

Cartes de symétrie utilisées.

TABLEAU V

Distances interatomiques en angströms et angles des liaisons.

| distances (Å | .) | angles | | | |
|---|---|---|--|--|--|
| | a) Coordinate | on du Mg++. | | | |
| $\begin{array}{l} (\times \ 2) \ \ Mg_1 \longrightarrow O_{1,1V} \\ (\times \ 2) \ \ Mg_1 \longrightarrow O_{2,1} \\ (\times \ 2) \ \ Mg_1 \longrightarrow O_{(IJ_2O)I} \end{array}$ | 2,024 (0,007) 2,045 (0,005) 2,180 (0,004) | $\begin{array}{l} (\times\ 2)\ O_{(H_2O)1} - Mg_1 - O_{1.1V} \\ (\times\ 2)\ O_{(H_2O)1} - Mg_1 - O_{2.1} \\ (\times\ 2)\ O_{(H_2O)1} - Mg_1 - O_{2.V} \\ (\times\ 2)\ O_{(H_2O)1} - Mg_1 - O_{1.VIII} \\ (\times\ 2)\ O_{2.1} - Mg_1 - O_{1.VIII} \\ (\times\ 2)\ O_{2.1} - Mg_1 - O_{1.VIII} \\ (\times\ 2)\ O_{2.1} - Mg_1 - O_{1.VIII} \end{array}$ | 88,95° (0,25°) 93,14° (0,22°) 86,86° (0,22°) 91,04° (0,25°) 93,97° (0,26°) | | |
| $\overline{Mg} = 0$ | 2,083 | $(\times 2)$ $O_{2,1}^{M} - Mg_1 - O_{1,\text{vm}}^{M}$ | 86,03° (0,26°) | | |
| | b) Tétrae | dre SO ₄ . | | | |
| | 1,463 (0,006) 1,468 (0,006) | $ \begin{array}{cccccccccccccccccccccccccccccccccccc$ | 109,17° (0,32°) 109,85° (0,30°) 109,80° (0,40°) 108,99° (0,40°) | | |
| $\overline{s-0}$ | 1,465 | 0 - S - 0 | 109,470 | | |
| | c) Environnement of | le la molécule d'eau. | | | |
| $\begin{array}{l} O_{(\mathbf{H_2O})_1} & \longrightarrow \mathrm{Mg_1} \\ O_{(\mathbf{H_2O})_1} & \longrightarrow \mathrm{Mg_{v_1}} \\ O_{(\mathbf{H_2O})_1} & \longrightarrow O_{2.11} \\ O_{(\mathbf{H_2O})_1} & \longrightarrow O_{2.1v} \end{array}$ | 2,180 (0,004) 2,180 (0,004) 2,744 (0,008) 2,744 (0,008) | $\begin{array}{c} O_{2,1V} \longrightarrow O_{(H_2O)_1} \longrightarrow O_{2,1I} \\ Mg_1 \longrightarrow O_{(H_2O)_1} \longrightarrow Mg_{V1} \end{array}$ | 137,97° (0,30°) 122,83° (0,30°) | | |
| | d) Distances et angles | concernant H de H ₂ O. | | | |
| $(\times 2) \stackrel{O_{(B_{3}O)_{1}}}{\underset{H_{1}}{\overset{H_{1}}{-}}} \stackrel{H_{1}}{\underset{H_{1}}{\overset{H_{1}}{-}}} \stackrel{H_{1}}{\underset{H_{1}}{\overset{H_{2}}{-}}} \stackrel{H_{1}}{\underset{H_{1}}{\overset{H_{2}}{-}}} \stackrel{H_{2}}{\underset{H_{2}}{\overset{H_{2}}{-}}} \stackrel{H_{2}}{\underset{H_{2}}{\overset{H_{2}}{\overset{H_{2}}{-}}}} \stackrel{H_{2}}{\underset{H_{2}}{\overset{H_{2}}{\overset{H_{2}}{-}}}} \stackrel{H_{2}}{\underset{H_{2}}{\overset{H_{2}}{-}}} \stackrel{H_{2}}{\underset{H_{2}}{\overset{H_{2}}}} \stackrel{H_{2}}{\underset{H_{2}}} \stackrel{H_{2}}{$ | $\begin{array}{c} 0.9_{35} & (0.10) \\ 1.5_{24} & (0.25) \\ 1.8_{71} & (0.13) \\ 1.8_{71} & (0.13) \end{array}$ | $\begin{array}{c} H_{1}-O_{(H_{2}O)_{1}}-H_{111}\\ O_{(H_{2}O)_{1}}-H_{1}-O_{2,1Y}\\ O_{(H_{2}O)_{1}}-H_{111}-O_{2,1I} \end{array}$ | 109,13° (14°) 155,08° (10,5°) 155,08° (10,5°) | | |

le même plan de base. Rappelons que pour ce monohydrate les paramètres de la maille élémentaire sont du même ordre de grandeur que ceux de la kieserite, mais le groupe spatial est P 2₁/c (1, 2). La figure 2 représente la projection de CdSO₄, H₂O tout à fait comparable à la figure 1.

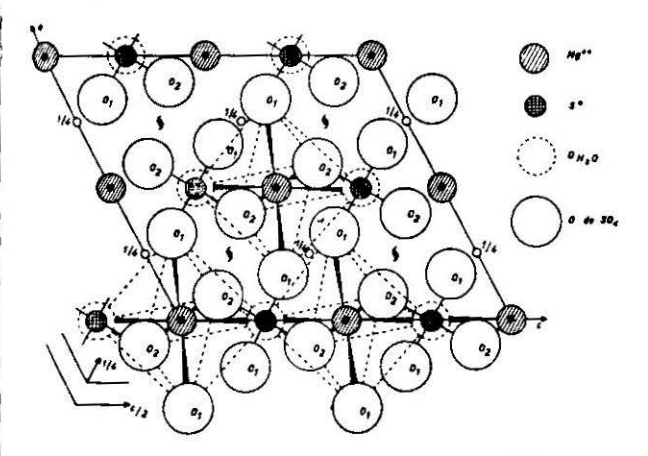


Fig. 1. — Positions atomiques projetées sur a c pour la kieserite MgSO₄, HO₂.

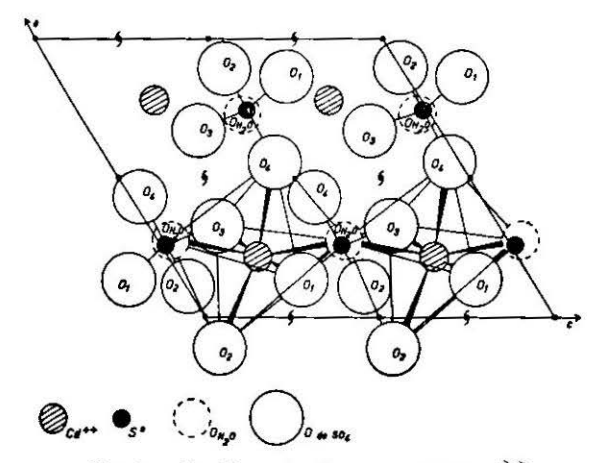


Fig. 2. — Positions atomiques projetées sur a c pour CdSO₄, H₂O.

Ces deux structures font apparaître des tétraèdres SO_4 et des ions Mg^{++} ou Cd^{++} au centre d'octaèdres dont les sommets sont occupés par des atomes d'oxygène. D'après ces deux schémas les octaèdres de coordination mis en évidence sont liés entre eux par les atomes d'oxygène des molècules d'eau le long de la direction [001]. Les quatre autres sommets des octaèdres sont occupés par des atomes d'oxygène de groupements sulfate différents. Un écart significatif distingue les liaisons $Mg - O_{(H_2O)}$ de $Mg - O_{(SO_4)}$ dans la kieserite, ce qui n'est pas le cas pour le sulfate de cadmium monohydraté. Cependant, l'octaèdre * $MgO_4(H_2O)_2$ » est moins déformé que « $CdO_4(H_2O)_2$ ». Les « lignes » $M^{++} - O_{(H_2O)} - M^{++} - O_{(H_2O)} - \dots$ sont en « dents de scie » avec des valeurs d'angles $M - O_{(H_2O)} - M$ très voisines : 127° pour $CdSO_4$, H_2O et 122,8° pour $MgSO_4$, H_2O . Les chaînes d'octaèdres parallèles à [001], se déduisent l'une de l'autre par l'action d'un axe binaire hélicoīdal et n'ont entre elles aucun atome commun. En effet chaque oxygène d'un tétraèdre SO_4 n'appartient qu'à une seule chaîne et les ensembles ainsi formés sont reliés par pont hydrogène entre $O_{(H_2O)}$ et O_2 . Chaque ion SO_4 a deux atomes d'oxygène qui appartiennent à une même

chaîne d'octaèdres et les deux autres sont à deux chaînes voisines. Les tétraèdres SO_4 sont très peu déformés pour $MgSO_4$, H_2O contrairement encore à ceux de $CdSO_4$, H_2O . Par ailleurs, l'environnement de la molécule d'eau n'est pas sans intérêt : les plus proches voisins sont deux ions Mg^{++} à 2,18 Å (ou deux ions Cd^{++} , l'un à 2,33 Å, l'autre à 2,24 Å) ainsi que deux atomes de type O_2 à la distance de 2,74 Å (pour $CdSO_4$, H_2O on peut envisager deux proches voisins, l'un à 2,90 et l'autre à 2,73 Å). Il est facile avec de telles distances, de concevoir l'existence de liaisons par pont hydrogène. L'angle $O_{2,1V} - O_{(H_4O)I} - O_{2,1I}$ de 138° environ est très différent de celui correspondant pour $CdSO_4$, H_2O (95°). Des recherches très précises sur les structures des hydrates ont montré que des angles $O - O_{(H_4O)} - O'$ d'environ 130 à 140° existent mais ne sont pas fréquents. Ainsi au moyen de la diffraction neutronique, pour $CuSO_4$, $5H_2O$, Bacon et Curry (24) trouvent un angle de 130° et pour $MgSO_4$, $4H_2O$, Baur (22) donne les valeurs 137,5 et 146,8°. Il n'est pas possible par nos mesures de situer avec précision le plan de la molécule d'eau par rapport à celui de $O_{2,1V} - O_{(H_4O)I} - O_{2,1I}$, mais d'ores et déjà on peut dire que les plans HOH et $Mg_1O_{(H_4O)}Mg_{VI}$ sont sensiblement perpendiculaires (92,3 \pm 9,8°).

La programme orffe (23) permet de calculer l'orientation des axes principaux de l'ellipsoïde d'agitation thermisse.

La programme orfe (23) permet de calculer l'orientation des axes principaux de l'ellipsoïde d'agitation thermique de l'atome d'oxygène de la molécule d'eau et le déplacement quadratique moyen $(\overline{u_i}^2)^{1/2}$ suivant chacun de ces trois axes à partir des coefficients β_{ij} . En dépit de l'imprécision des résultats $(0,02 \text{ Å sur } (\overline{u_i}^2)^{1/2} \text{ et } 10^\circ$ sur les angles), nous constatons une très faible anisotropie de cet atome d'oxygène, due selon toute vraisemblance à son environnement tétraèdrique. D'autre part, le grand axe de l'ellipsoïde se trouve dans le plan de la liaison O-H...O.

V. — Conclusion.

La parenté structurale définie entre les deux modèles étudiés nous permettra de mieux expliquer les analogies présentées par les spectres de ces monohydrates tant en résonance magnétique nucléaire qu'en spectrométrie infrarouge. En outre, l'interprétation des particularités de ces spectres devra être revue en distinguant la contribution des effets liés à la surface de ceux liés à la structure. L'existence de deux distances égales $O_{(HeO)} - O_{(SO_i)}$ (2,74 Å) et la valeur de la distance $S - O_{(HeO)}$ (3,68 Å) permettent d'écarter d'une part, la formule MSO_5H_2 proposée antérieurement (25, 26, 27), et d'autre part, celle avancée par Jungreis et Ben-Dor (28): [MSO₄OH] - H+ pour expliquer certaines propriétés chimiques ou certaines caractéristiques des spectres infrarouges. Nous poursuivons actuellement une étude plus complète par diffraction neutronique. Les résultats ainsi obtenus seront confrontés à ceux de la résonance magnétique nucléaire.

Cet article fait partie d'une thèse de doctorat d'État ès sciences physiques, enregistrée au C.N.R.S. sous le numéro A.O.5094, et soutenue devant la Faculté des Sciences de Paris le 16 décembre 1970.

BIBLIOGRAPHIE.

Cristallogr., 1968, 91, 296.
(2) J. M. BREGEAULT et P. HERPIN, Bull. Soc. Fr. Minéral. Cristallogr., 1970, 93, 37.

⁽¹⁾ P. HERPIN et J. M. BREGEAULT, Bull. Soc. Fr. Minéral.

(3) G. WEINERT, Naturwissenschaften, 1938, 26, 410.

(4) J. LEONARDT et R. WEISS, Naturwissenschaften, 1957, 44, 338.

(5) J. Coing-Boyat et G. Bassi, C.R. Acad. Sci., 1963, 256, 1482.

(6) Y. Le Fur, J. Coing-Boyat et G. Bassi, C.R. Acad. Sci., 1966, 262, 632.

(7) J. Coing-Boyat, Thèse, Grenoble, 1966.

(8) F. HAMMEL, Ann. Chim., 1939, 11, 247. (9) C. W. F. T. PISTORIUS, Z. anorg. allg. Chem., 1960, 307, 226; Bull. Soc. chim. belges, 1960, 69, 570; Z. Kristallogr., 1961,

- 115, 303; Acta crystallogr., 1961, 14, 534.
 (10) H. R. Oswald, Hele. chim. Acta, 1965, 48, 590.
 (11) R. W. G. Wyckoff, Crystal Structures, 2eme édition,
- John Wiley and Sons, London, 1966, Vol. 3, p. 554.
 (12) J. M. Bregerutt, 1966, Note no 66-6015, C.E.N. Saclay.
 (13) K. Heide et D. O. Voigt, Chem. Erde, 1967, 26, 87;

K. Heide, communication privée.
(14) J. Kubisz, A.S.T.M., 13-102.
(15) Y. Le Fur, D.E.S., Grenoble, 1964.
(16) W. R. Busing, K. O. Martin et H. A. Levy, A Fortran Crystallographic Least Squares program, Report ORNL - TM -305, Oak Ridge National Laboratory, 1962.

- (17) D. T. CROMER et J. T. WABER, Acta crystallogr., 1965, 18 104.
 - (18) A. J. FREEMAN, Acta crystallogr., 1959, 12, 261.
- (19) H. A. LEVY, Acta crystallogr., 1956, 9, 679. (20) International Tables for X-Ray Crystallography, 1re édition, The Kynoch Press, Birmingham, 1962, p. 202.

(21) A. Zalkin, H. Ruben et D. Templeton, Acta crystallogr., 1964, 17, 235.

(22) W. H. BAUR, Acta crystallogr., 1964, 17, 863.
(23) W. R. Busing, K. O. Martin et H. A. Levy, A Fortran Crystallographic Function and Error program, Report ORNL TM - 306, Oak Ridge National Laboratory, 1964.

(24) G. E. BACON et N. A. CURRY, Proc. Roy. Soc., 1962, 266,

(25) N. LENDORMY, Chim. anal., 1962, 44, 255; — N. LENDOR-MY, C.R. Acad. Sci., 1961, 253, 1804.

(26) С. Duval, Chim. anal., 1962, 44, 102. (27) С. Rocchiccioli, C.R. Acad. Sci., 1963, 257, 3851. — C. Rocchiccioli, Chim. anal., 1964, 46, 452.

(28) E. Jungreis et L. Ben-Dor, Israel J. Chem., 1964, 2.

(29) L. BEN-DOR et R. MARGALITH, Inorg. chim. Acta, 1967, 1,

Nº 693. - Nouvelle méthode de résolution de l'équation séculaire de Wilson dans le cadre du champ de forces de valence généralisé: méthode des pas logarithmiques et « déblocage ».

Application à des halogénocomplexes de symétrie T_d,

(Faculté des Sciences d'Alger, Département de chimie, Laboratoire de chimie minérale physique. 2, rue Didouche Mourad, Alger (République Algérienne.)

par Edgar Wendling et Saâd Mahmoudi.

(Manuscrit recu le 20.5.70.)

Le nombre de fréquences normales expérimentales d'une molécule a toujours été considéré comme insuffisant pour déterminer la matrice « énergie potentielle » \mathbf{F} complète du champ de forces de valence généralisé : n représentant le nombre de fréquences normales de même espèce de symétrie, il faut en effet déterminer n(n+1)/2 éléments de matrice \mathbf{F} . La méthode des pas logarithmiques que nous proposons, permet de calculer le jeu complet des constantes de force de déformation et d'interaction du champ de force de valence généralisé sans recourir à d'autres données expérimentales que les fréquences normales. La méthode a été appliquée à 41 halogénocomplexes tétraédriques.

I. — Introduction.

Nous avons vu ailleurs (31) que toute utilisation d'un champ de forces (C.F.) de valence simple, orbitalaire ou du C.F. centrales pour calculer les constantes de force relatives à des groupements de symétrie T_d, comporte une très grosse part d'aléa, sans compter qu'en fait, les constantes de force les plus intéressantes sont celles du C.F. de valence généralisé [C.F.V.G. XII, tableau II de la référence (32)]. Or nous avons montré (32) que dans le cadre du C.F.V.G., le nombre de fréquences normales expérimentales est, en général, insuffisant pour déterminer la matrice F complète: n représentant le nombre de fréquences normales de même espèce de symétrie, il faudrait en effet déterminer n (n+1)/2 éléments de matrice F. C'est cette difficulté fondamentale rencontrée lors de la résolution de « l'inverse du problème de valeurs propres » (32) qui a, de tout temps, incité les auteurs à éviter le C.F.V.G. XII pour se contenter, faute de mieux, des C.F. de valence simples, orbitalaires ou de forces centrales.

Pourtant, Larnaudie (13) proposait dès 1954 sa méthode de rigidité progresssive qui permet de lever l'indétermi-nation dans le cadre du C.F.V.G. Cette méthode, très rare-

ment utilisée, a été appliquée à des halogénocomplexes par Alexandrovskaja, Godniev et Orlova (23, 9, 1). Mais elle ne semble pas très satisfaisante: c'est ainsi que pour InCl₄-, elle conduit à une *variance s* optimale (31) de 78 (cm⁻¹)² alors que la méthode que nous exposerons par la suite, conduit, pour le même ion, à un $s_{\rm opt}$ de $0.46 \cdot 10^{-8} \; ({\rm cm}^{-1})^2$.

En 1964, FADINI (5, 6, 7, 8) puis Sawodny, FADINI et Ballein (26) ont proposé une méthode bien plus satisfaisante permettant d'isoler parmi l'infinité de solutions mathématiques, l'unique matrice F à signification physique plausible ou au moins une matrice complète et symétrique qui s'en rapproche: pour appliquer cette méthode, il suffit de connaître, en plus de la géométrie moléculaire, les fréquences expérimentales et il est inutile de faire appel à des données complémentaires (fréquences de molécules isotopiques, amplitudes moyennes de vibra-tion, intensités de raies Raman ou constantes de Coriolis) (32).

La méthode de Fadini, comme celle de LARNAUDIE. reste sous-utilisée (11, 20, 27, 28, 15, 21), peut-être en raison de la nécessité de déterminer les n⁴ coefficients de la matrice R (voir plus loin) qui constitue selon Fadini le

problème le plus difficile.